# Лекция № 8

22.05.2020г.

# Напряжения и деформации при ударе.

Удар — динамическая нагрузка, скорость приложения которой резко изменяется в короткий промежуток времени. Различают продольный и поперечный удар.



- забивка фундаментных свай;
- штамповка;

• работа ударного молота;

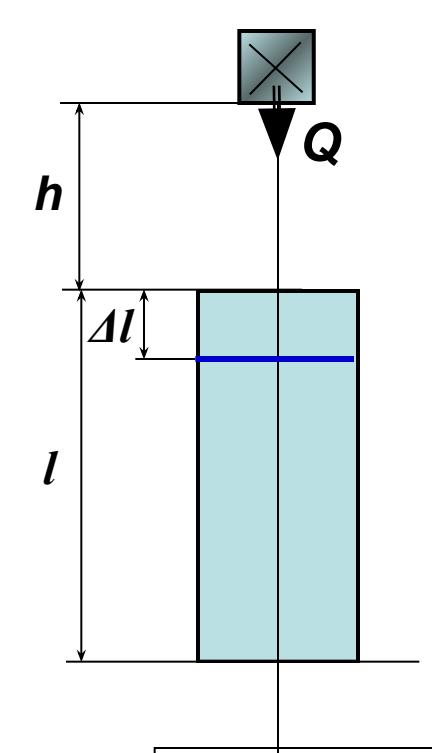
• ковка.

• отскок пружины бойкового механизма в ружье.

# В приближенной теории удара вводятся следующие предположения и допущения:

- ударяющее тело абсолютно жесткое и не отскакивает от ударяемого;
- масса ударяемого тела пренебрежимо мала по сравнению с массой ударяющего;
- вся кинетическая энергия ударяющего тела переходит в потенциальную энергию упругой деформации ударяемого.

# Продольный удар.



Кинетическая энергия **T**<sub>0</sub> падающего груза **Q** переходит в потенциальную энергию упругой деформации стержня **U**:

$$T_{o} \rightarrow U$$
 $T_{o} = Q(h + \Delta l)$ 
(1)
 $U = \frac{1}{2}P\Delta l$ 
(2)

В силу действия закона Гука имеем:

$$P = \sigma F = \frac{\Delta l}{l} EF = \frac{\Delta l}{\Delta l_{m}} Q$$

где:  $\Delta l_m = \frac{Ql}{EF}$  - укорочение стержня от статического действия груза;

F - площадь поперечного сечения; E - модуль Юнга.

Тогда **U** в выражении (2) можно определить по формуле:

$$U = \frac{1}{2} Q \frac{\Delta l^2}{\Delta l_m}$$

Выражение (1) принимает вид:  $h + \Delta l = \frac{1}{2} \frac{\Delta l^2}{\Delta l}$ 

Откуда выразим 
$$\varDelta l$$

Откуда выразим 
$$\varDelta l$$
 :  $\Delta l = \Delta l_m \cdot \left| 1 + \sqrt{1 + \frac{2h}{\Delta l_m}} \right| = \Delta l_m \cdot k_{\! /\! L}$ 

$$\Delta l = \Delta l_m \cdot k_{\!\mathcal{I}}$$

Итак, получено:  $\boxed{\Delta l = \Delta l_m \cdot k_{\!\! /\!\! /}} \text{ - укорочение стержня при ударе.}$ 

где: 
$$k_{j}$$

$$k_{\mathcal{A}} = \left[1 + \sqrt{1 + \frac{2h}{\Delta l_{m}}}\right]$$

где:  $k_{\mathcal{A}} = 1 + \sqrt{1 + \frac{2h}{\Delta l_{m}}}$  - динамический коэффициент при ударе.

# Динамическое напряжение при ударе: $\| \boldsymbol{\sigma}_{\mathcal{I}} = k_{\mathcal{I}} \cdot \boldsymbol{\sigma}_{cm} \|$

$$\sigma_{\mathcal{A}} = k_{\mathcal{A}} \cdot \sigma_{cm}$$

Или : 
$$\sigma_{\mathcal{I}} = \sigma_{cm} \cdot \left(1 + \sqrt{1 + \frac{2h}{\Delta l_m}}\right) \approx \frac{Q}{F} + \sqrt{\frac{2QhE}{lF}}$$
 Динамическое нагрузка при ударе:  $P_{\mathcal{I}} = \sigma_{\mathcal{I}} \cdot F$ 

Или: 
$$P_{\mathcal{I}} = k_{\mathcal{I}} \cdot \sigma_{cm} \cdot F = Q \cdot \left(1 + \sqrt{1 + \frac{2h}{\Delta l_m}}\right)$$

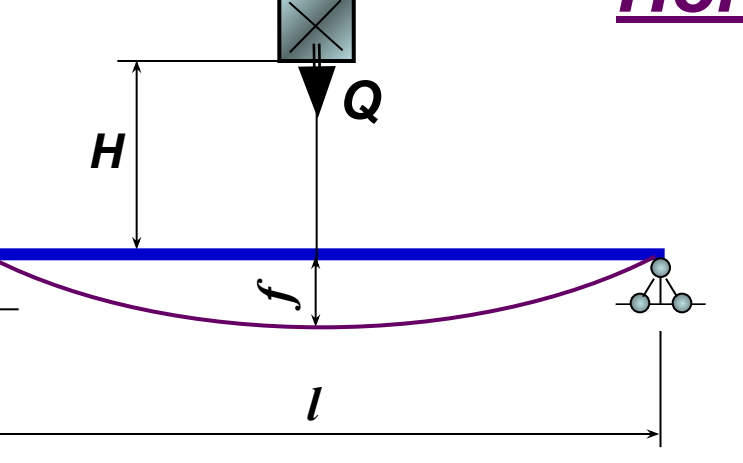
## Выводы:

При равномерном распределении напряжений по длине стержня, т.е., когда стержень имеет постоянное поперечное сечение, <u>величина динамического напряжения зависит не только от площади его поперечного сечения </u>**F**, как при статическом нагружении, <u>но и от его длины 1, модуля упругости </u>**E**.

<u>Чем больше объем материала</u>, подвергаемого удару упругого <u>стержня</u>, <u>тем меньше</u> возникающее <u>в нем динамическое напряжение</u>.

### Поперечный удар.





$$\sigma_{\mathcal{A}} = k_{\mathcal{A}} \cdot \sigma_{cm}$$

 $\sigma_{\mathcal{I}} = k_{\mathcal{I}} \cdot \sigma_{cm}$  - динамическое напряжение.

$$f_m = \frac{Ql^3}{48EI_x}$$

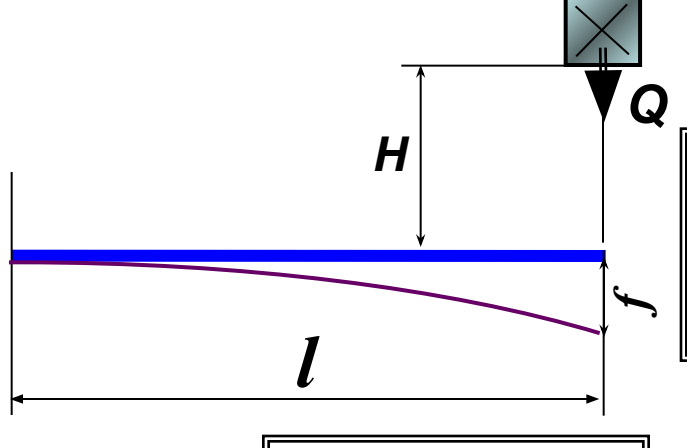
 $=rac{Ql^3}{48EI_{\downarrow}}$  - статический прогиб балки от груза **Q** посередине пролета.

$$f_{\mathcal{I}} = f_m \left[ 1 + \sqrt{1 + \frac{2H}{f_m}} \right] = f_m \cdot k_{\mathcal{I}}$$
 - динамический прогиб.

где: 
$$k_{\mathcal{A}} = 1 + \sqrt{1 + \frac{2H}{f_m}}$$

где:  $k_{\mathcal{A}} = 1 + \sqrt{1 + \frac{2H}{f_{-}}} \|$  - динамический коэффициент при поперечном ударе.

#### Балка консольного типа.



$$f_{cm} = \frac{Ql^3}{3EI_x}$$

 $\frac{Dl^3}{3EI_x}$  - станичес... свободного торца балки от груза Q. - статический прогиб

$$\boxed{f_{\mathcal{I}} = f_{cm} \cdot k_{\mathcal{I}}}$$

 $|f_{II} = f_{cm} \cdot k_{II}|$  - динамический прогиб.

где: 
$$k_{\mathcal{A}} = 1 + \sqrt{1 + \frac{2H}{f_{m}}}$$
 - динамический коэффициент при поперечном ударе.

$$\sigma_{\mathcal{A}} = k_{\mathcal{A}} \cdot \sigma_{cm}$$

 $\|\sigma_{II} = k_{II} \cdot \sigma_{cm}\|$  - динамическое напряжение.

Примечание:

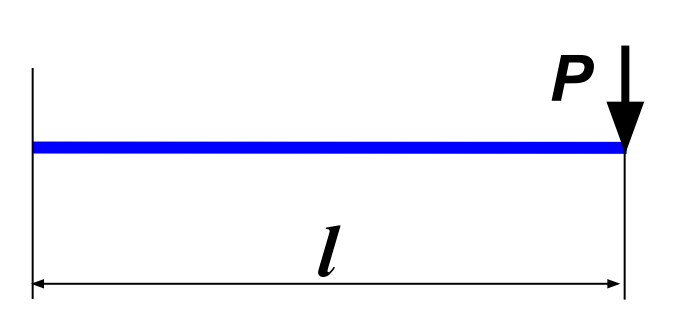
# прочности:

$$\sigma_{\mathcal{I}_{max}} \leq \left[\sigma_{\mathcal{I}}\right] = \frac{\sigma_{\mathcal{I}}}{k_{\mathcal{I}}}$$

где:  $\sigma_T$  - предел текучести.

Конструкции из хрупких материалов не желательно подвергать удару, т.к. OHU имеют свойство разрушаться без образования почти пластических деформаций.

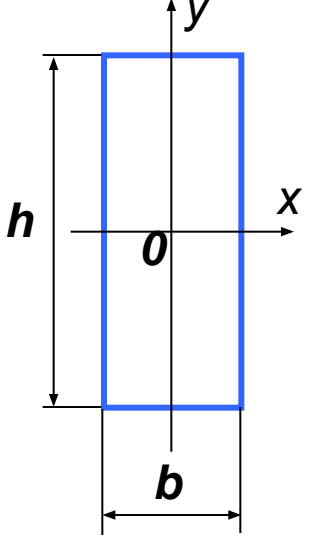
Проанализируем изменение напряжений при статическом и динамическом нагружении балки при ее различных положениях.



<u>Статическое нагружение.</u>

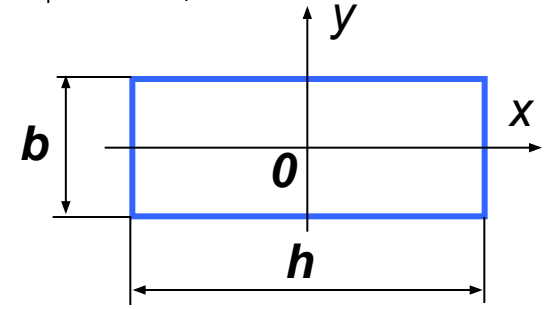
а) балка поставлена на ребро.

$$\sigma_m = \frac{M_x}{W_x} = \frac{6Pl}{bh^2} = \frac{6Pl}{hF}$$



б) балка положена плашмя.

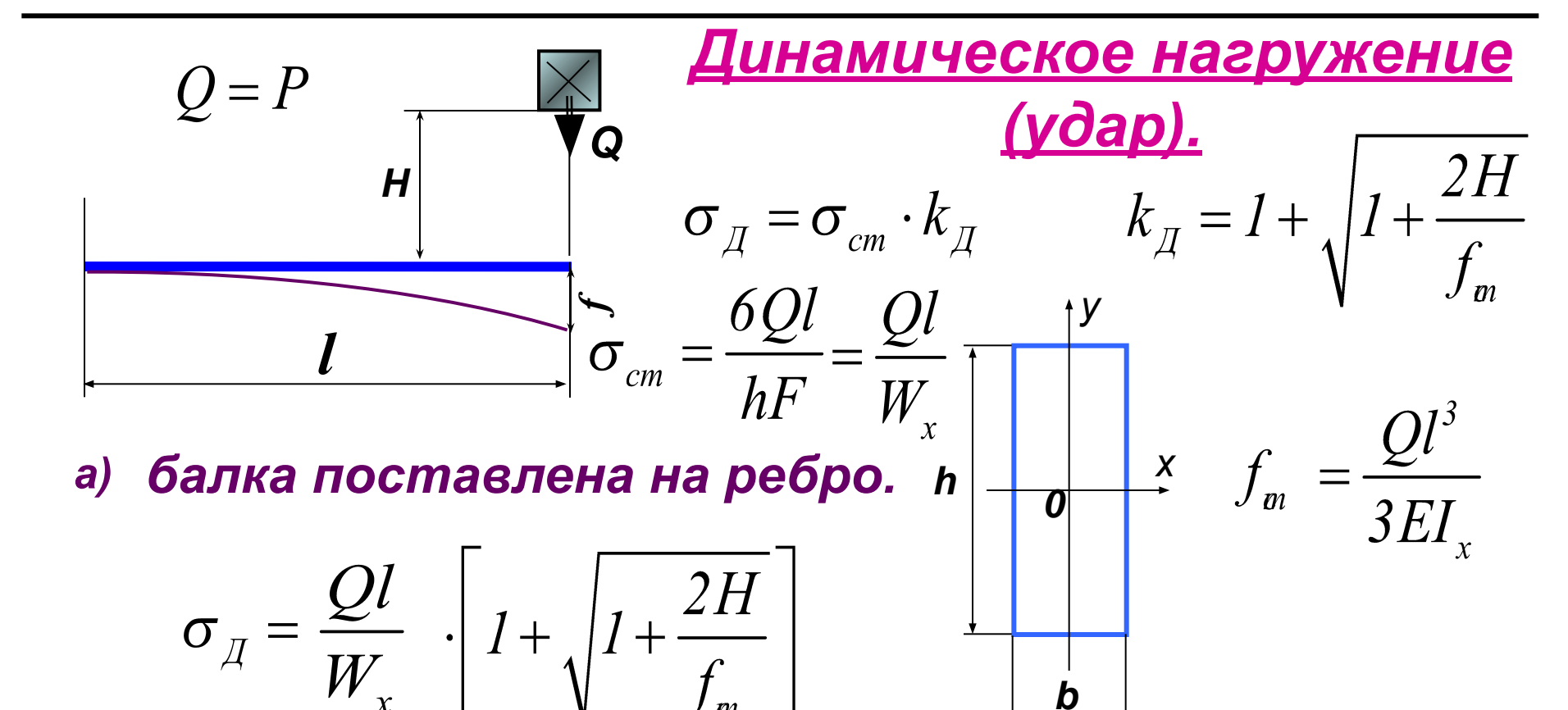
$$\sigma_m = \frac{M_x}{W} = \frac{6Pl}{hb^2} = \frac{6Pl}{bF}$$



$$\frac{\sigma_m^{(a)}}{\sigma_m^{(b)}} = \frac{6Pl \cdot Fb}{Fh \cdot 6Pl} = \frac{b}{h}$$

## Вывод:

Максимальные нормальные напряжения при одинаковой статической нагрузке в балке прямоугольного сечения (b×h) полрженной плашмя будут в раз больше, чем в балке, поставленной на ребро.



Статическая потенциальная энергия:

$$=\frac{Qf_{cm}}{2}=\frac{Q^2l^3}{6EI}$$

C учетом того, что  $T_0 \approx QH$  определим отношение

$$\frac{2H}{f_m} = \frac{QH}{\frac{1}{2}Qf_m} = \frac{T_0}{U_{cm}}$$

Тогда:

$$\sigma_{\mathcal{A}} = \frac{Ql}{W_{x}} \left( 1 + \sqrt{1 + \frac{T_{0}}{U_{cm}}} \right) = \frac{Ql}{W_{x}} \left( 1 + \sqrt{1 + \frac{6T_{0}EI_{x}}{Q^{2}l^{3}}} \right) \approx \sqrt{\frac{6T_{0}EI_{x}}{Q^{2}l^{3}}}$$

получено:  $\frac{O I_0 E I_x}{O^2 l^3}$  - динамическое напряжение при поперечном ударе.

#### <u>Примечание:</u>

Множитель перед скобкой определяет величину статического напряжения, а оно на практике намного меньше динамического, поэтому им пренебрегаем.

#### Примечание:

В случае, когда  $H>>f_{cm}$  в радикале формулы для  $k_{_{I\!I}}$ можно пренебречь единицей. Из этого же соображения в формуле  $T_{\theta m} = Q(H + f)$  можно пренебречь прогибом.

Имея ввиду, что 
$$I_x = i_x^2 \cdot F_{x}$$
 определим отношение:  $\frac{I_x}{W_x^2} = \left(\frac{y_{max}}{i_x}\right)^2 \cdot \frac{1}{F}$ 

$$\sigma_{\mathcal{A}}^{(a)} = \frac{\mathcal{E}_{max}}{i_{x}} \sqrt{\frac{6T_{0}}{Fl}}$$

Тогда:  $\sigma_{\mathcal{A}}^{(i)} = \frac{\mathcal{E}_{max}}{i} \sqrt{\frac{6T_0}{F_1}}$  - динамическое напряжение при поперечном ударе.

$$2de: \quad \frac{y_{max}}{i_x} = \frac{\frac{n}{2}}{\sqrt{\frac{bh^3}{12bh}}} = \sqrt{3}$$

## б) балка положена плашмя.

$$\sigma_{II} = \frac{b}{bF} \cdot \left[1 + \sqrt{1 + \frac{2H}{f_m}}\right]$$
  $I_x = \frac{hb^3}{12}$ 

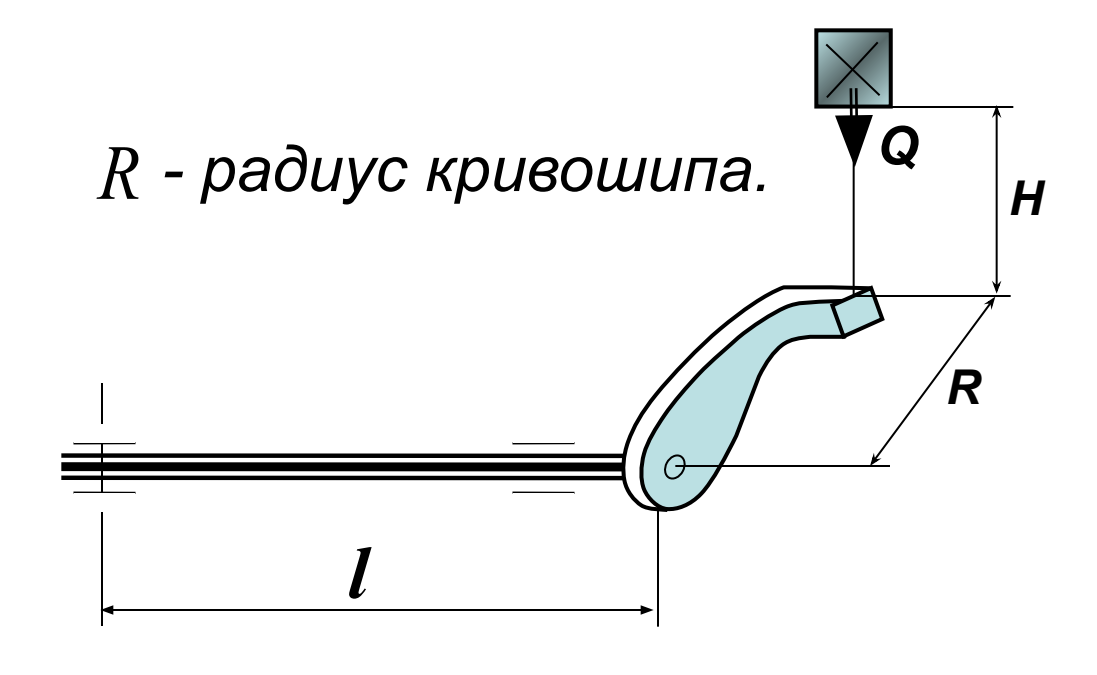
Проведя рассуждения, аналогичные предыдущим, получаем: h

$$\sigma_{\mathcal{A}}^{6}$$
 =  $\frac{\mathcal{E}_{max}}{i_x}\sqrt{\frac{6T_0}{Fl}}$   $\frac{y_{max}}{i_x} = \frac{\overline{2}}{\sqrt{\frac{hb^3}{12bh}}} = \sqrt{.}$  Таким образом получено, что  $\frac{y_{max}}{i_x} = const$   $\frac{1}{2}$  для любого положения сечения.

# Вывод:

Максимальные напряжения при одинаковой ударной нагрузке в балке прямоугольного сечения (b × h) будут одинаковыми и при постановке ее на ребро, и при укладывании плашмя. В пределах действия закона Гука.

## Скручивающий удар.



$$\delta_{m} = \varphi R = \frac{M_{z}l}{GI_{p}}R = \frac{QR^{2}l}{GI_{p}}$$

Динамическое касательное напряжение:

$$\tau_{\mathcal{A}} = \tau_{cm} \cdot k_{\mathcal{A}}$$

$$\tau_{cm} = \frac{M_z}{W_p} = \frac{QR}{W_p}$$

$$k_{\mathcal{A}} = 1 + \sqrt{1 + \frac{2H}{\delta_m}}$$

где:  $\,\, \phi\,\,$  - угол поворота кривошипа.  $\,\, \phi = rac{W_z \iota}{GI_z} \,$ 

 $\delta_m$  - длина дуги, описываемой кривошипом.

# Исходя из закона сохранения энергии $T_{\sigma} = U$

где:  $U_{\mathcal{A}}$  - потенциальная энергия деформации вала при ударном кручении.

и имея ввиду, что: 
$$U_{\mathcal{A}} = \frac{1}{2} M_{\mathcal{A}} \cdot \varphi_{\mathcal{A}} = \frac{M_{\mathcal{A}}^2 \, l}{2GI_p}$$
 и учитывая, что:  $\tau_{\mathcal{A}} = \frac{M_{\mathcal{A}}}{W_p}$  или  $M_{\mathcal{A}} = \tau_{\mathcal{A}} \cdot W_p = \frac{\pi d^3}{16} \tau_{\mathcal{A}}$  можно записать:  $U_{\mathcal{A}} = \frac{\tau_{\mathcal{A}}^2 \pi^2 d^6 l}{16^2 GI_p \cdot 2} = \frac{\tau_{\mathcal{A}}^2 Fl}{4G}$ 

$$\tau_{\mathcal{A}} = 2\sqrt{\frac{T_0 G}{Fl}}$$

Откуда  $| \tau_{_{//}} = 2 \sqrt{\frac{T_{_{0}}G}{Fl}} |$  - динамическое касательное напряжение при скручивающем ударе.

F - площадь поперечного сечения вала.

# Влияние различных факторов на снижение динамических напряжений при ударе.

Проанализируем формулу для определения динамического напряжения. \_\_\_\_\_

$$\sigma_{\mathcal{A}} = k_{\mathcal{A}} \cdot \sigma_{cm}$$
 где:  $k_{\mathcal{A}} = 1 + \sqrt{1 + \frac{2H}{\delta_{cm}}}$  - динамический коэффициент при ударе.

При снижении  $k_{_{I\!\! J}}$  будут уменьшаться  $\sigma_{_{I\!\! J}}.$ 

<u>При любом виде удара снижение высоты падения груза</u> <u>уменьшает динамические напряжения.</u>

Продольный удар: 
$$\delta_{cm} = \Delta l_{cm} = \frac{Nl}{EF} \rightarrow k_{\mathcal{A}} = 1 + \sqrt{1 + \frac{2HEF}{Nl}}$$
  $k_{\mathcal{A}}$  будет уменьшаться при:

- увеличении длины стержня l,
- снижении объема стержня V,
- снижении жесткости стержня *EF*.
- снижении площади поперечного сечения стержня F.

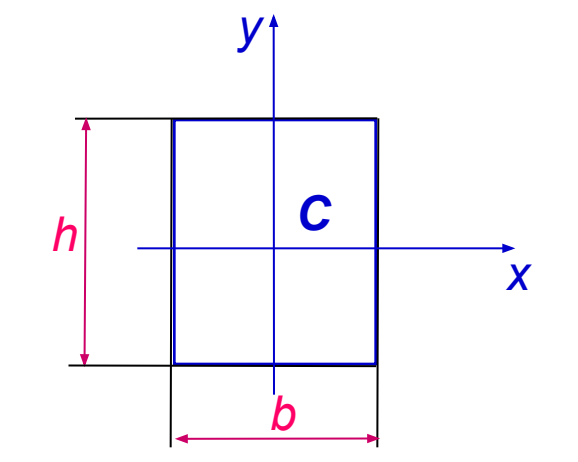
 $k_{\mathcal{I}} = 1 + \sqrt{1 + \frac{2HEV}{NI^2}}$ 

Поперечный удар: 
$$\delta_{cm} = f_{cm} = \frac{Pl^3}{EI_x} \rightarrow k_A = 1 + \sqrt{1 + \frac{2HEI_x}{Pl^3}}$$

 $k_{\it I}$  будет уменьшаться при:

- увеличении длины балки 1,
- увеличении объема балки *V*,

например, для балки прямоугольного сечения:  $k_{\mathcal{A}} = 1 + \sqrt{1 + \frac{2HEbh^3}{12Pl^3}} = 1 + \sqrt{1 + \frac{HEh^2V}{6Pl^4}}$ 



- снижении жесткости стержня  $EI_{x}$ .
- снижении площади поперечного сечения балки F.

Скручивающий удар: 
$$\tau_{A} = 2\sqrt{\frac{T_{o}G}{Fl}}$$

 $au_{\it I}$  будет уменьшаться при:

- увеличении объема вала V = Fl,
- уменьшении диаметра маховика **D**.

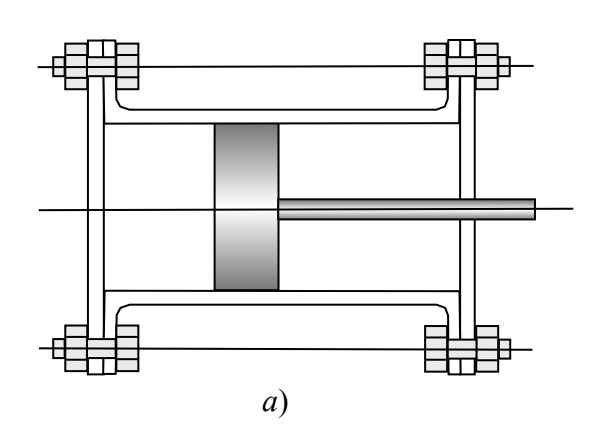
# Конструктивные решения по снижению динамических напряжений при ударе.

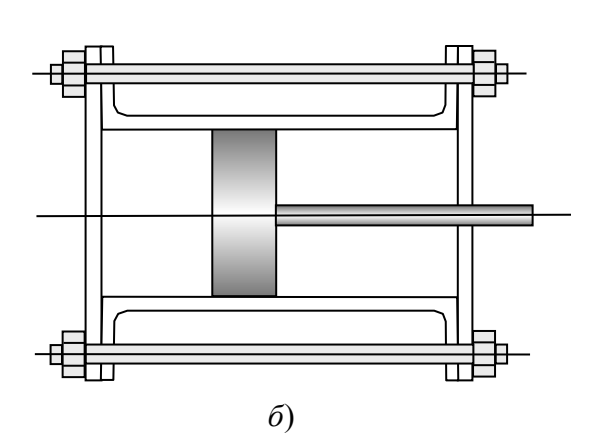
Представляют собой технологические мероприятия по изменению размеров деталей, испытывающих ударную нагрузку.

<u>Примеры:</u>

#### Увеличение длины.

Крышка поршня бурового инструмента. Короткие болты дают обрыв, поэтому вместо них ставят длинные шпильки.





#### Уменьшение площади.

В болтовых соединениях.

Методы выравнивания площадей по наименьшей:

- обтачивание болта.
- высверливание канала.

